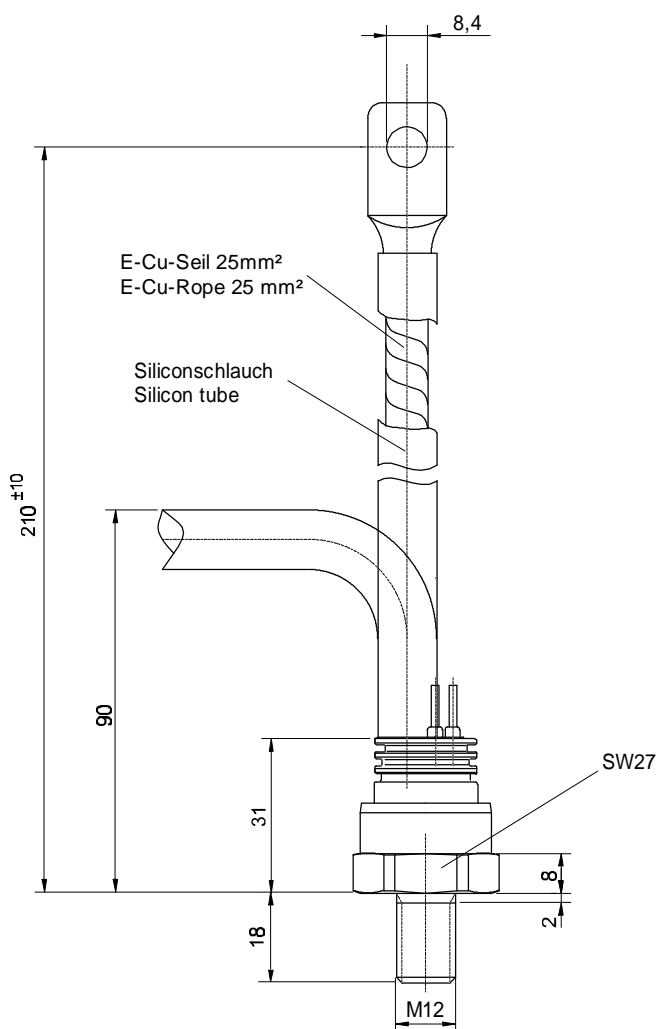


European Power-  
Semiconductor and  
Electronics Company  
GmbH + Co. KG

## Leistungsgleichrichterdioden Power Rectifier Diodes D 121 K

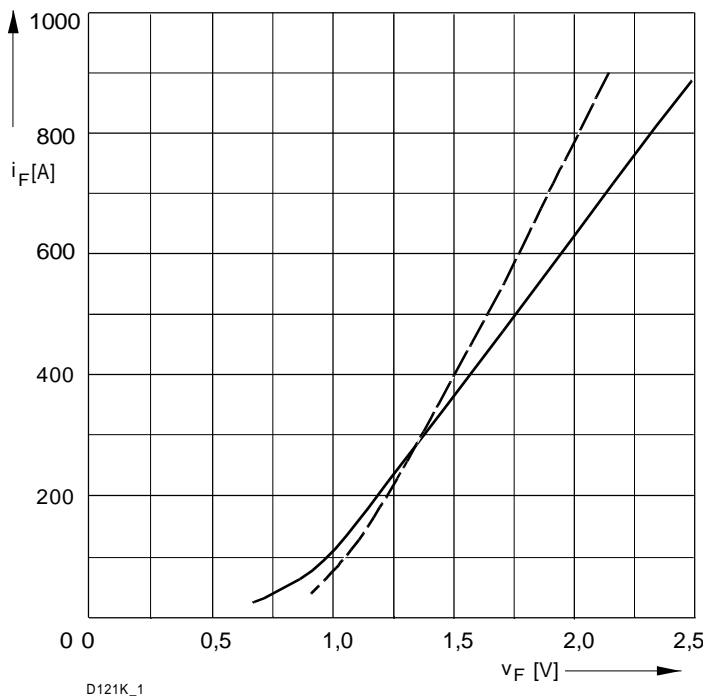


Typ Type	Schalsymbol Circuit symbol	Kathode Cathode	Anode Anode	Schutzschlauch Prot. flex. tubing
D121N		Seil Rope	Gewinde Thread	rot red
D121K		Gewinde Thread	Seil Rope	blau blue

## D 121 K

Elektrische Eigenschaften		Electrical properties				
<b>Höchstzulässige Werte</b>		<b>Maximum rated values</b>				
Periodische Spitzensperrspannung	repetitive peak reverse voltage	$t_{vj} = -40^\circ\text{C} \dots t_{vj\max}$	$V_{RRM}$	800, 1200, 1400	V	
				1800, 2000	V	
Stoßspitzensperrspannung	non-repetitive peak reverse voltage	$t_{vj} = +25^\circ\text{C} \dots t_{vj\max}$	$V_{RSM} = V_{RRM}$	+ 100	V	
Durchlaßstrom-Grenzeffektivwert	RMS forward current		$I_{FRMSM}$	330	A	
Dauergrenzstrom	mean forward current	$t_c = 113^\circ\text{C}$	$I_{FAVM}$	120	A	
		$t_c = 25^\circ\text{C}$		210	A	
Stoßstrom-Grenzwert	surge forward current	$t_{vj} = 25^\circ\text{C}, t_p = 10 \text{ ms}$	$I_{FSM}$	2,85	kA	
		$t_{vj} = t_{vj\max}, t_p = 10 \text{ ms}$		2,4	kA	
Grenzlastintegral	$I^2 t$ -value	$t_{vj} = 25^\circ\text{C}, t_p = 10 \text{ ms}$	$I^2 t$	40,6	$\text{A}^2\text{s}$	
		$t_{vj} = t_{vj\max}, t_p = 10 \text{ ms}$		28,8	$\text{A}^2\text{s}$	
<b>Charakteristische Werte</b>		<b>Characteristic values</b>				
Durchlaßspannung	on-state voltage	$t_{vj} = t_{vj\max}, i_F = 650 \text{ A}$	$V_T$	max.	2,04	V
Schleusenspannung	threshold voltage	$t_{vj} = t_{vj\max}$	$V_{T(TO)}$		0,72	V
Ersatzwiderstand	slope resistance	$t_{vj} = t_{vj\max}$	$r_T$		1,9	$\text{m}\Omega$
Sperrstrom	reverse current	$t_{vj} = t_{vj\max}, V_R = V_{RRM}$	$i_R$	max.	20	mA
<b>Thermische Eigenschaften</b>		<b>Thermal properties</b>				
Innerer Widerstand	thermal resistance, junction to case	$\Theta = 180^\circ \text{ sin DC}$	$R_{thJC}$	max.	0,434	$^\circ\text{C/W}$
Übergangs-Wärmewiderstand	thermal resistance, case to heatsink		$R_{thCK}$	max.	0,04	$^\circ\text{C/W}$
Höchstzul.Sperrsichttemperatur	max. junction temperature				180	$^\circ\text{C}$
Betriebstemperatur	operating temperature				-40...+180	$^\circ\text{C}$
Lagertemperatur	storage temperature				-40...+180	$^\circ\text{C}$
<b>Mechanische Eigenschaften</b>		<b>Mechanical properties</b>				
Si-Element mit Druckkontakt	Si-pellet with pressure contact	$\varnothing = 15 \text{ mm}$				
Anzugsdrehmoment	tightening torque	Gehäuseform/case design B	M1		20	Nm
Gewicht	weight		G	typ.	175	g
Kriechstrecke	creepage distance				12	mm
Feuchtekategorie	humidity classification	DIN 40040				C
Schwingfestigkeit	vibration resistance	$f = 50 \text{ Hz}$			50	$\text{m/s}^2$
Maßbild	outline				Seite/page	
Polarität	polarity				Kathode=Gehäuse/case	

## D 121 K



Bild/Fig. 1  
Grenzdurchlaßkennlinie  
Limiting forward characteristic  $i_F = f(v_F)$

- $t_{vj} = 180 \text{ }^{\circ}\text{C}$
- - -  $t_{vj} = 25 \text{ }^{\circ}\text{C}$

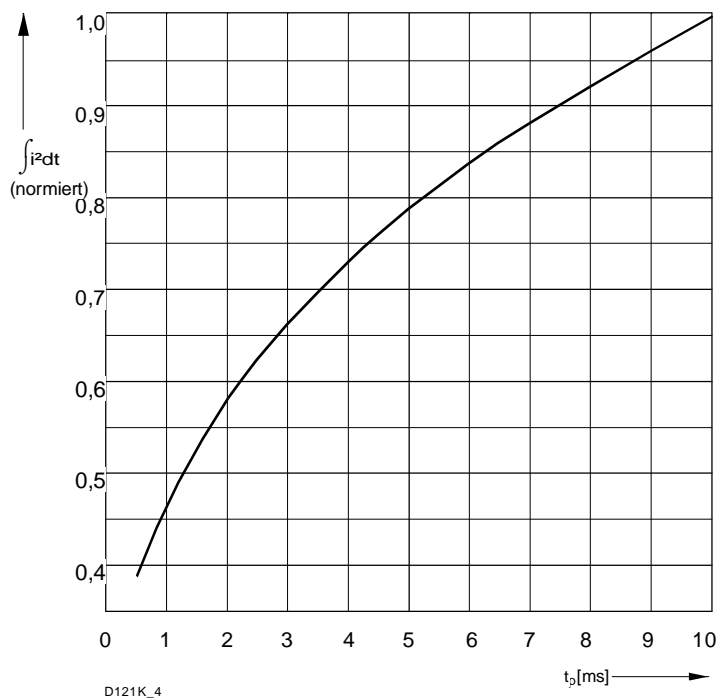


Bild / Fig. 2  
Normiertes Grenzlastintegral / Normalized  $i^2t$   
 $\int i^2 dt = f(t_p)$

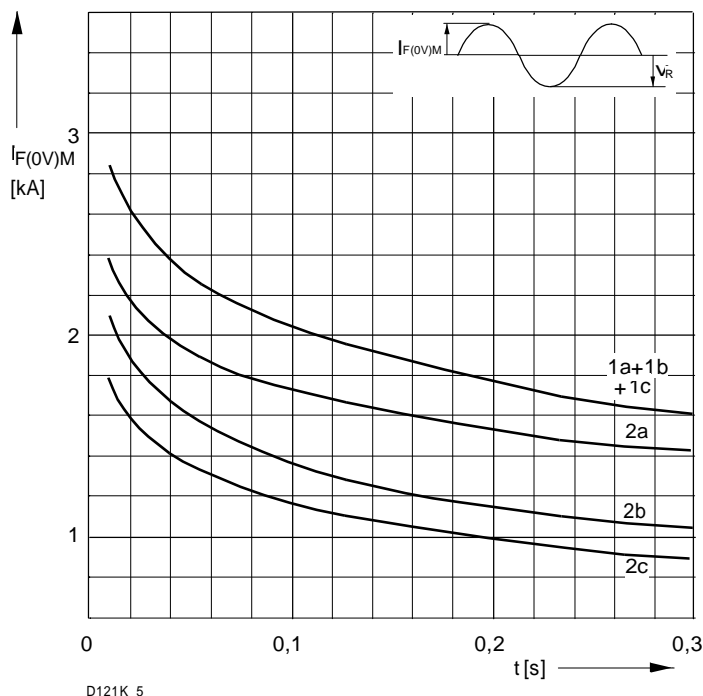


Bild / Fig. 3  
Grenzstrom / Maximum overload forward current  $I_F(0V)M = f(t)$

- 1 -  $I_{FAV}(\text{vor}) = 0 \text{ A}; t_{vj} = t_c = 25 \text{ }^{\circ}\text{C}$
- 2 -  $I_{FAV}(\text{vor}) = 120 \text{ A}; t_c = 113 \text{ }^{\circ}\text{C}; t_{vj} = 180 \text{ }^{\circ}\text{C}$
- a -  $VR \leq 50 \text{ V}$
- b -  $VR = 0,5 \text{ V}_{RRM}$
- c -  $VR = 0,8 \text{ V}_{RRM}$

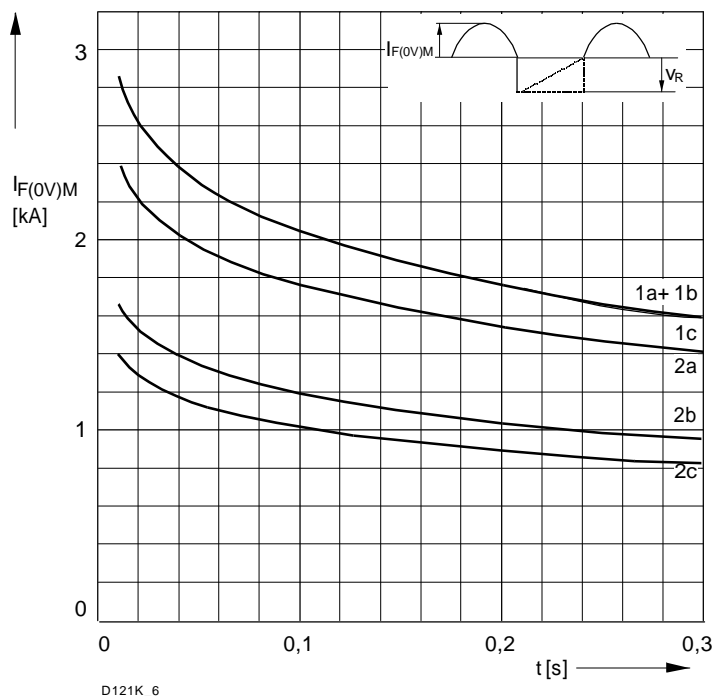


Bild / Fig. 4  
Grenzstrom / Maximum overload forward current  $I_F(0V)M = f(t)$

- 1 -  $I_{FAV}(\text{vor}) = 0 \text{ A}; t_{vj} = t_c = 25 \text{ }^{\circ}\text{C}$
- 2 -  $I_{FAV}(\text{vor}) = 120 \text{ A}; t_c = 113 \text{ }^{\circ}\text{C}; t_{vj} = 180 \text{ }^{\circ}\text{C}$
- a -  $VR \leq 50 \text{ V}$
- b -  $VR = 0,5 \text{ V}_{RRM}$
- c -  $VR = 0,8 \text{ V}_{RRM}$

## D 121 K

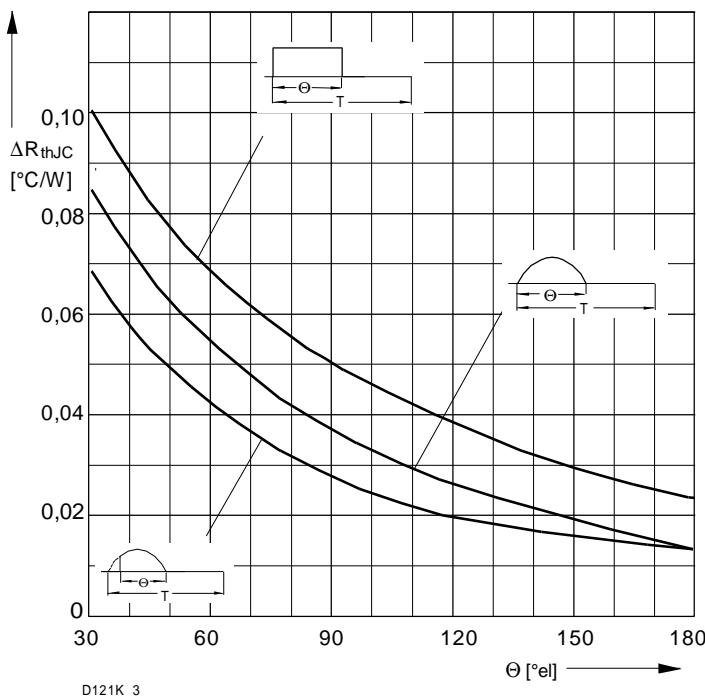


Bild / Fig. 5  
 Differenz zwischen den Wärmewiderständen  
 für Pulsstrom und DC  
 Difference between the values of thermal resistance for  
 pulse current and DC  
 Parameter: Stromkurvenform / Current waveform

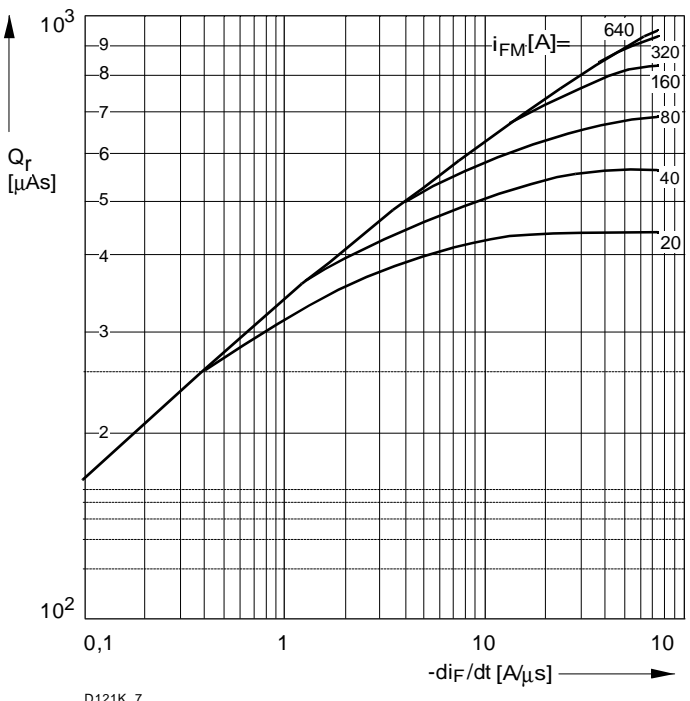


Bild / Fig. 6  
 Sperrverzögerungsladung / Recovered charge  $Q_r = f(-di_F/dt)$   
 $t_{vj} = t_{vjmax}$ ;  $VR \leq 0,5 \text{ VR}_{RRM}$ ;  $\text{VRM} = 0,8 \text{ VR}_{RRM}$   
 Beschaltung / Snubber:  $C = 0,33 \mu\text{F}$ ;  $R = 10 \Omega$   
 Parameter: Durchlaßstrom / Forward current  $i_{FM}$

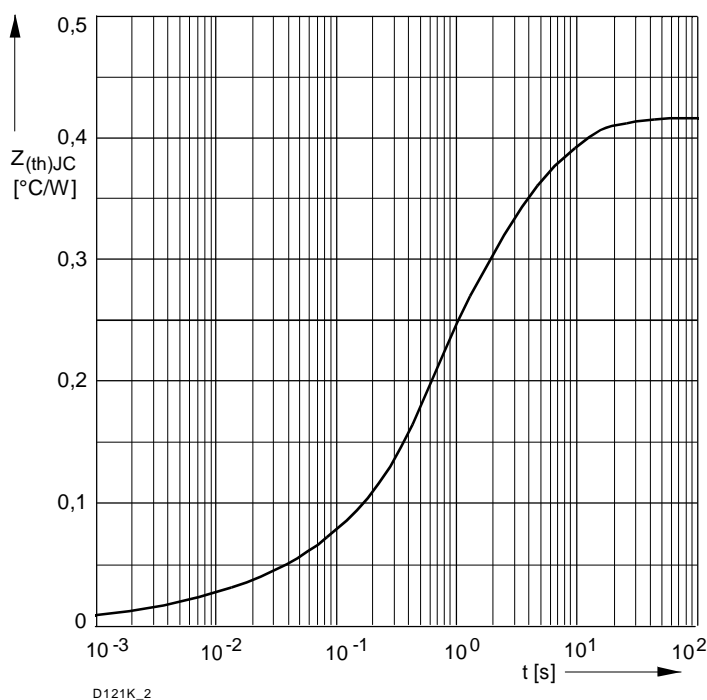


Bild / Fig. 7  
 Transienter innerer Wärmewiderstand  
 Transient thermal impedance  $Z_{thJC} = f(t)$ , DC  
 1 - Beidseitige Kühlung / Two-sided cooling  
 2 - Anodenseitige Kühlung / Anode-sided cooling  
 3 - Kathodenseitige Kühlung / Cathode-sided cooling

Analytische Elemente des transienten Wärmewiderstandes  $Z_{thJC}$  für DC  
 Analytical elements of transient thermal impedance  $Z_{thJC}$  for DC

Pos. n	1	2	3	4	5	6	7
$R_{thn}$ $^{\circ}\text{C}/\text{W}$	0,000052	0,003148	0,0101	0,0274	0,0639	0,133	0,0724
$t_n$ [s]	0,000009	0,000254	0,0029	0,0158	0,252	1,1	7,49

Analytische Funktion / Analytical function:

$$Z_{thJC} = \sum_{n=1}^{n_{\max}} R_{thn} (1 - \text{EXP}(-t/t_n))$$